

Симметрия кристаллов и плотность льда

Модификация	Сингония и пространственная группа	Плотность ($\text{г}/\text{см}^3$)	
		при 98 К и атм., давлении	в области стабильного существования *
Ih	гексагональная, $P6_3/mmc$	0,94	0,917 (273; 0)
Ic	кубическая, $F\bar{4}3m$	0,94	0,93 (140; 0)
II	тригональная, $R\bar{3}$	1,17	1,18 (240; 2, 1)
III	тетрагональная, $P4_12_12$	—	1,15 (251, 2)
IV	тригональная, $R\bar{3}c$	1,27	—
V	моноклинная, $A2/a$	1,23	1,26 (268, 8)
VI	тетрагональная, $P4_2/nmc$	1,31	1,34 (288, 8)
VII	кубическая, $I\bar{m}\bar{3}m$	—	1,65 (298, 25)
VIII	»	1,50	1,66 (223, 25)
IX	тетрагональная	1,14	—

* Лёд IV является метастабильной фазой в области стабильного существования льда V; лёд IX — упорядоченный по ориентациям молекул вариант льда III, а лёд VIII — льда VII; в скобках темп-р в К и давление в кбар.

известно, что ср. расстояние $O \dots O$ составляет $\sim 0,28 \text{ нм}$, а угол $O \dots H \dots O$ в наиб. энергетически выгодной конфигурации 180° . Четыре водородные связи молекулы В. направлены приблизительно к вершинам правильного тетраэдра (рис. 5). В кристаллогидратах довольно часто встречаются молекулы В., участвующие в трёх водородных связях: в двух — в качестве донора и в одной — акцептора. Во всех модификациях льда система водородных связей между молекулами представляет собой трёхмерную сетку (рис. 6).

В гексагональной и кубической модификациях, существующих при низких давлениях (льды I_h и I_c), все связи практически прямолинейны и каждая молекула окружена четырьмя другими, находящимися в вершинах правильного тетраэдра. Расположение атомов кислорода в них такое же, как углерода в алмазе (льд I_c) и лондейлите (льд I_h). В модификациях, устойчивых при высоких давлениях (кроме льдов VII и VIII), связи искривлены (углы $O \dots H \dots O$ меньше 180°) и углы между ними заметно отличаются от тетраэдрического ($109^\circ 28'$). В самых плотных

модификациях VII и VIII две неискажённые сетки, такие же, как во льду I_c, вставлены одна в другую. В структуре льда VI также можно выделить две вставленные друг в друга сетки, но связи в них сильно искривлены, а окружение молекул заметно отличается от её окружения при идеально тетраэдрической структуре. Все модификации льда (кроме II, VIII и IX) ориентационно разупорядочены. Каждая молекула В. в них может быть ориентирована одним из шести способов (по числу рёбер тетраэдра), за счёт чего кристаллы этих модифи-

каций обладают остаточной энтропией, т. е. при abs. нуле темп-р сохраняется нек-рая разупорядоченность. Низкочастотная диэлектрич. проницаемость ориентационно разупорядоченных модификаций высока (100 и выше), а упорядоченных — низка (~ 3). Эксперим. данные, полученные с помощью рентгеновского структурного анализа, нейтронографии, колебат. спектроскопии, ЯМР, рассеяния света, термодинамич. методов, исследования диэлектрич. релаксации и др., позволяют утверждать, что трёхмерная приближённо тетраэдрич. сетка водородных связей существует и в жидкой В. во всём интервале темп-р и давлений. Это, в частности, следует из анализа парной корреляционной функции расстояний $O \dots O$ (рис. 7), построенной на основании нейтронографич. и рентгенографич. исследований. Положение первого максимума и площадь под ним говорят о том, что каждая молекула в ср. окружена менее чем пятью др. молекулами, находящимися на расстоянии, близком к длине водородной связи, а положение второго максимума ($\sim 4,5 \text{ \AA}$) соответствует длине ребра тетраэдра вокруг молекулы воды (рис. 5). Эти данные трудно согласовать с существующими моделями В., допускающими наличие в ней ассоциатов, групп, кластеров (в к-рых молекулы соединены водородными связями), разделённых несвязанными молекулами. Понятно, ближе к реальности т. н. клатратные модели (наиб. известная из них — модель, предложенная О. Я. Самойловым в 1946), постулирующие размещение несвязанных молекул в пустотах трёхмерной сетки («каркаса»), однако эти модели требуют наличия значит. концентрации несвязанных молекул. В действительности же их скорее всего содержит неизнанит кол-во. Повышенная плотность жидкой В. по сравнению со льдом I объясняется, как и в случае плотных модификаций льда, уменьшением объёма в результате искривления связей и отклонения координации молекул от идеально тетраэдрической. С другой стороны, ср. длина водородных связей при возрастании темп-ры увеличивается, что приводит к расширению В. Наличие этих двух противоположных тенденций объясняет своеобразную зависимость объёма В. от темп-ры.

Представление о жидкой В. как о трёхмерной тетраэдрич. сетке из связанных друг с другом молекул впервые было высказано Дж. Д. Бернапом (J. D. Bernal) и Р. Фаулером (R. G. Fowler) в 1933. Как показали эксперим. данные 70—80-х гг., в жидкой В. реализуется нек-рая случайная тетраэдрич. сетка, отличная от существующих в кристаллич. модификациях льда или в др. тетраэдрич. координированных кристаллич. структурах. Такая концепция наилучшим образом согласуется с результатами изучения В. теоретич. методами и при помощи численного моделирования на ЭВМ (молекулярной динамики метод и Монте-Карло метод).

Химические свойства воды. Химически чистая В. состоит почти исключительно из молекул H_2O . Незначительная доля молекул (при $25^\circ C$ — примерно одна на $5 \cdot 10^{10}$) диссоциирует по схеме $H_2O \rightleftharpoons H^+ + OH^-$. Протон H^+ в водной среде существовать в свободном состоянии не может и, взаимодействуя с молекулами В., образует комплексы H_5O^+ . Расстояние $O \dots O$ в таких комплексах заметно короче, чем при нормальной водородной связи между нейтральными молекулами. Но поскольку протон, по-видимому, находится не точно посередине этой укороч. связи, а ближе к одному из атомов О, то в таком комплексе можно выделить ион оксонаия H_3O^+ . Хотя степень диссоциации в В. ничтожна, она играет большую роль в хим. процессах, происходящих в разл. системах, в том числе в биологических. В частности, она является причиной гидролиза солей слабых к-т и оснований и нек-рых др. реакций, протекающих в В.

При повышенных темп-рах происходит разложение В. на элементы: $2H_2O \rightleftharpoons 2H_2 + O_2$ (при давлении 1 атм и темп-ре $1015^\circ C$ разлагается $0,034\%$, при $2215^\circ - 8,6\%$, при $2483^\circ - 11\%$ молекул). Под действием УФ-

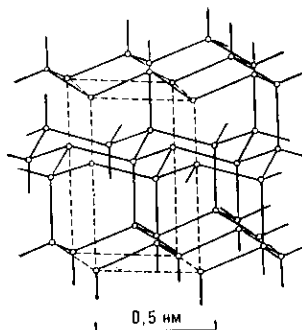


Рис. 6. Структура обычного (I_h) льда.

разложению атомов кислорода в алмазе (льд I_c) и лондейлите (льд I_h). В модификациях, устойчивых при высоких давлениях (кроме льдов VII и VIII), связи искривлены (углы $O \dots H \dots O$ меньше 180°) и углы между ними заметно отличаются от тетраэдрического ($109^\circ 28'$). В самых плотных

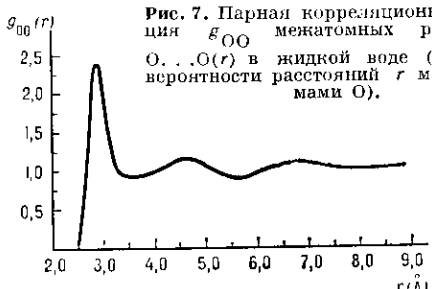


Рис. 7. Парная корреляционная функция g_{OO} между атомами О. . . О (r) в жидкой воде (плотность вероятности расстояний r между атомами О).

модификациях VII и VIII две неискажённые сетки, такие же, как во льду I_c, вставлены одна в другую. В структуре льда VI также можно выделить две вставленные друг в друга сетки, но связи в них сильно искривлены, а окружение молекул заметно отличается от её окружения при идеально тетраэдрической структуре. Все модификации льда (кроме II, VIII и IX) ориентационно разупорядочены. Каждая молекула В. в них может быть ориентирована одним из шести способов (по числу рёбер тетраэдра), за счёт чего кристаллы этих модифи-